

幽门螺杆菌毒力基因型与胃癌的相关性研究

黄敬敬¹ 魏良洲² 战淑慧¹ 董开芯¹ 王传芳¹ 苏艳华¹ 董全江^{1△}

(1青岛大学医学院附属青岛市立医院消化内科及中心实验室 山东青岛 266071 2青岛大学医学院附属医院 山东青岛 266071)

摘要 目的 研究中国东部地区幽门螺杆菌(*H. pylori*) cagA、vacA 和 iceA1 毒力基因型的分布状况及其与胃癌的相关性。方法:从 52 例病人胃黏膜活检组织(31 例慢性浅表性胃炎 21 例胃癌)中分离培养 *H. pylori*,用 PCR 方法扩增分离菌株的 cagA、iceA1、vacAs, i, m 区毒力基因片段,统计并分析上述毒力因素与胃癌发生的相关性。结果:在 52 例菌株中, cagA、vacAs1/i1/m1、vacAs1/i1/m2 和 iceA1 的阳性率分别是 92.3%(48/52) 48.1%(25/52) 48.1%(25/52) 90.4%(47/52);所有的胃癌分离株中均为 cagA(+) vacAs1/i1(+)型, vacAm1、vacAm2 和 iceA1 在胃癌组中的阳性率分别是 47.6%(10/21) 52.4%(11/21) 95.2%(20/21), 与胃炎组相比,上述基因型的阳性率差异均无显著统计学意义($P>0.05$)。结论:cagA、vacAs1/i1/m1、vacAs1/i1/m2 和 iceA1 是中国东部地区 *H. pylori* 的优势基因型;cagA、vacAs1、vacAi1 和 iceA1 毒力基因型的存在与胃癌的发生无相关性。

关键词 幽门螺杆菌 cagA vacA iceA1 毒力

中图分类号 R735.2 文献标识码 A 文章编号:1673-6273(2012)18-3525-04

The Correlation between Virulence Genotypes of Helicobacter pylori and Gastric Cancer

HUANG Jing-jing¹, WEI Liang-zhou², ZHAN Shu-hui¹, DONG Kai-xin¹, WANG Chuan-fang¹, SU Yan-hua¹, DONG Quan-jiang^{1△}

(1 Qingdao Municipal Hospital, The Medical College of Qingdao University, Qingdao, 266071, China;

2 Affiliated Hospital of the Medical College of Qingdao University, Qingdao, 266071, China)

ABSTRACT Objective: To investigate the prevalence of virulent genotypes of Helicobacter pylori (*H. pylori*) and the relationship between virulence factors and gastric cancer. Methods: *H. pylori* were cultured from gastric biopsies obtained from 31 patients with chronic gastritis and 21 with gastric cancer. The virulence genes, cagA, iceA1, vacA s, i and m regions were amplified by using PCR and the relationship between virulence factors and gastric cancer was analyzed. Results: The prevalence of cagA, vacAs1/i1/m1, vacAs1/i1/m2 and iceA1 in 52 isolates were 92.3% (48/52), 48.1% (25/52), 48.1% (25/52), 90.4% (47/52), respectively. All the gastric cancer isolates were cagA (+) vacAs1/i1 (+), and the positive rates of vacAm1, vacAm2 and iceA1 in group of gastric cancer were 47.6% (10/21), 52.4% (11/21), 95.2% (20/21), respectively. There were no statistically significant differences in the positive rates of all the genotypes above compared with the positive rates in gastritis isolates ($P>0.05$). Conclusions: The majority of *H. pylori* isolated from East China possess virulent genotypes are cagA, vacAs1/i1/m1, vacAs1/i1/m2 and iceA1 positive. It appeared that the virulence factors of *H. pylori* had no significant association with gastric cancer.

Key words: Helicobacter pylori; cagA; vacA; iceA1; Virulence

Chinese Library Classification(CLC): R735.2 **Document code:** A

Article ID:1673-6273(2012)18-3525-04

前言

幽门螺杆菌(*H. pylori*)是一种微需氧、螺旋状革兰氏阴性杆菌,主要感染胃黏膜上皮细胞层,世界有超过一半人口感染 *H. pylori*,与慢性胃炎、消化性溃疡病及胃癌的发生关系密切^[1,2]。*H. pylori* 导致病变发生是通过独特的毒力因素完成的,如 cagA、vacA 和 iceA1 毒力基因^[3]。人们对 cagA 基因的致病作用已进行了较为深入的研究,其编码产物 CagA3' 可变区

EPIYA 序列的数量和类型均可影响毒力因子 CagA 的产量,与宿主胃黏膜病变程度密切相关^[4]。vacA 基因编码产物 VacA 有不同水平的空泡毒活性,能够引发上皮细胞级联反应,最终导致细胞凋亡。iceA 基因是近年来新发现的 *H. pylori* 新型毒力相关基因,对其具体致病机制尚不明确。目前,在国内外尚未有对较大样本量 *H. pylori* 胃癌分离株毒力基因分布状况进行研究的报道。本文主要研究中国东部地区 *H. pylori* cagA、vacA 和 iceA1 毒力基因分布状况及其与胃癌的相关性。

1 材料和方法

1.1 菌株和培养方法

收集 52 例于 2010 年至 2011 年到青岛市立医院行胃镜检查的患者胃黏膜活检标本(其中男性 28 例,女性 24 例,平均年龄 46.3 岁),经病理诊断为慢性浅表性胃炎者 31 例,胃癌者 2

作者简介 黄敬敬(1985-),女,硕士研究生,主要研究方向 幽门螺杆菌与胃癌的相关性研究,电话:13156366011,

E-mail: xueshan-100@163.com

△通讯作者 董全江 教授,电话:13964238382,

E-mail: jiangacer@126.com

(收稿日期 2012-01-15 接受日期 2012-02-10)

例。胃炎标本取自于胃窦小弯侧，胃癌标本取自于距胃癌组织2-5厘米外部位。将胃黏膜活检标本接种于脑心浸出液固体培养基上，加入7%去纤维绵羊血和抗生素，在微需氧条件下(85%N₂, 5%O₂, 10%CO₂)培养3-5天。经菌落形态、G-染色及触酶试验、尿素酶试验等证实为幽门螺杆菌后，将菌株收集于冻存管中于-80℃下保存。使用细菌DNA提取试剂盒提取菌株基因组DNA并保存于-80℃^[5]。幽门螺杆菌培养所需试剂来源于英国Oxoid公司，DNA提取试剂盒来源于北京天根生化科技有限公司。

1.2 PCR反应

PCR引物设计如下(表1)^[6,7]，反应总体积为25μl(DNA模板10 ng, 上下游引物各10 μM, 2×Taq PCR MasterMix 12.5 μl, 其余用ddH₂O补齐)，反应条件如下：iceA1基因94℃预变性5 min, 94℃变性30 s, 54℃退火45 s, 72℃延伸45 s，共35个循环；cagA及vacA基因95℃预变性5 min, 95℃变性1 min, 52℃退火1 min (vacAm为54℃), 1 min, 72℃延伸1 min，共35个循环，最后72℃延伸10 min。经过1.6%琼脂糖凝胶电泳及电脑图像处理系统，保存并分析图像结果(图1-3)。

PCR引物由南京金斯瑞生物科技有限公司合成，PCR所需试剂来源于北京天根生化科技有限公司。

1.3 统计学分析

应用SPSS17.1软件进行数据处理，采用Fisher's精确检验方法，P<0.05为差异有统计学意义。

2 结果

PCR结果显示，在分离培养的52例临床分离株中，cagA、vacAs1/i1/m1、vacAs1/i1/m2和iceA1的阳性率分别是92.3%(48/52), 48.1%(25/52), 48.1%(25/52), 90.4%(47/52)，分离标本中无混合感染现象(表2)；在大多数菌株中含有vacAs1和i1型(51/52, 50/52)，而vacAm1和m2亚型分布较为均匀(25/52, 26/52)。cagA阴性菌株及vacAs2或i2型菌株均分离自胃炎标本；cagA、vacAs1和vacA1在胃癌分离株中的阳性率为100%(21/21)；iceA1、vacAm1和vacAm2在胃癌组中的阳性率分别是95.2%(20/21), 47.6%(10/21), 52.4%(11/21)，上述基因型在胃炎组和胃癌组中的分布差异均无统计学意义(P>0.05)。

表1 PCR扩增iceA1、cagA、vacA、cagA5'区片段引物

Table 1 The primer pairs for amplifying the iceA1, cagA, vacA

Gene	Primer designation	Primer sequence 5'→3'	PCR product size (bp)
cagA	CAGAF	GATAACAGGCAAGCTTTGAGG	349
	CAGAR	CTGAAAAGATTGTTGGCAGA	
	iceA1 F	GTGTTTTAACCAAAGTATC	247
iceA1	iceA1 R	CTATAGCCASTYTCTTGCA	
	VA1-F	ATGGAAATACAACAAACAC	259(s1)
vacA s1/s2	VA1-R	CTGCTTGAATGCGCCAAC	286(s2)
	VacF1	GTTGGGATTGGGGGAATGCC	
vacA i1/i2	C1R	TTAATTAAACGCTGTTGAA	410(i1)
	C2R	GATCAACGCTCTGATTGAA	410(i2)
	VAG-F	CAATCTGTCCAATCAAGCGA	570(m1)
	VAG-R	CAATCTGTCCAATCAAGCGA	645(m2)

Note: S=C/G, Y=C/T

表2 各基因型在不同疾病中的检出情况

Table 2 The number of strains with different genotypes in different diseases

Genotype	Number of isolates		Total (n=52)
	Gastritis (n=31)	Gastric cancer (n=21)	
cagA(+)			
iceA1(+)vacAs1/i1/m1	13	10	23
iceA1(+)vacAs1/i1/m2	11	10	21
iceA1(+)vacAs1/i2/m2	1	0	1
iceA1(-)vacAs1/i1/m2	2	1	3
cagA(-)			
iceA1(+)vacAs1/i1/m2	1	0	1
iceA1(+)vacAs2/i2/m2	1	0	1
iceA1(-)vacAs1/i1/m1	2	0	2

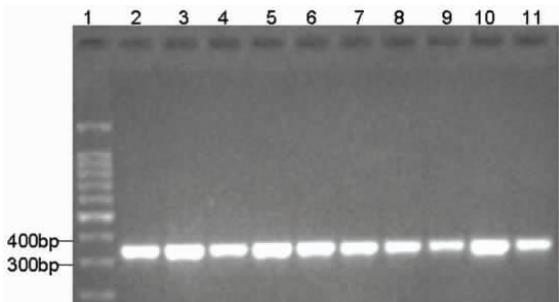


图 1 cagA 片段扩增结果

Fig.1 The result of amplifying cagA

注 2-11 为 cagA 阳性(349bp); 1 为 100bp Marker.

Note: 2-11 reveal cagA positive (349bp); 1 reveals Marker of 100bp.

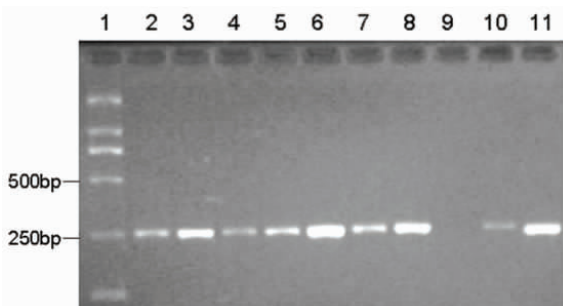


图 2 iceA1 片段扩增结果

Fig.2 The result of amplifying iceA1

注 2-8、10、11 为 iceA1 阳性(247bp); 9 为 iceA1 阴性; 1 为 250bp

Marker.

Note: 2-8,10,11, reveal iceA1 positive (247bp); 9 reveals iceA1 negative;1 reveals Marker of 250bp

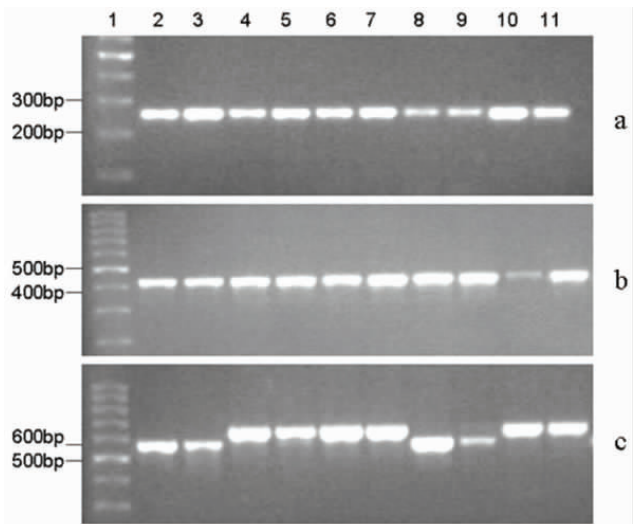


图 3 vacA 片段扩增结果

Fig.3 The result of amplifying vacA

注 a 为 vacAs 片段扩增结果 2-11 为 s1 型(259bp) b 为 vacAi 片段扩增结果 2-11 均为 i1 型(410bp) c 为 vacAm 片段扩增结果 2、3、8、9 为 vacAm1 型(570bp) 4-7、10、11 为 vacAm2 型(645bp); 1 为 100bp Marker

Note: a shows the result of amplifying vacAs: 2-11 are vacAs1 positive (259 bp); b shows the result of amplifying vacAi: 2-11 are vacAi1 positive (410 bp); c shows the result of amplifying vacAm: 2, 3, 8, 9 are vacAm1 positive (570 bp), 4-7, 10, 11 are vacAm2 negative (645 bp), 1 reveals Marker of 100 bp

3 讨论

世界有超过一半人口感染 *H. pylori*, 并可终生携带, 只有少部分感染者发生严重临床病理变化, 这是由细菌毒力因素, 宿主易感性及环境因素共同决定的^[8,9]。*H. pylori* 有特殊的毒力因素能够导致宿主消化性疾病的发生。

cagA 基因是 *H. pylori* 最重要的毒力因素之一, 其编码产物 CagA 蛋白对胃上皮细胞的损伤作用较为明确, CagA 经由 *cagPAI* 编码的 T4SS 输送到宿主上皮细胞内, 在其重复的 EPIYA 基序酪氨酸残基上发生磷酸化作用, 导致宿主细胞发生损伤^[10]。不同 *H. pylori* 菌株编码产物的 EPIYA 序列数量和类型不同, 对宿主细胞的毒性损伤程度不同^[11]。除了 *cagA* 基因外, *vacA*、*iceA* 也是 *H. pylori* 导致宿主病变发生的毒力因素。*vacA* 基因编码产物 VacA 蛋白是一种空泡毒素, 能在宿主细胞膜上形成小孔, 诱导宿主细胞内形成空泡, 导致细胞凋亡^[12,13]。*vacA* 主要包含 3 个多态性区域(s 区, i 区, m 区), 每个多态性区域又进一步分成 1, 2 亚型, 不同亚型 VacA 基因编码产物的致空泡作用各不相同。研究表明, *vacA*1 型与胃腺癌的发生密切相关, 认为 *vacA*1 型比 s 或 m 型能更好的预测 *H. pylori* 相关肿瘤的发生^[14]。*iceA* 基因是近年来新发现的 *H. pylori* 毒力相关基因, *iceA*1 阳性菌株最终可引起胃黏膜上皮内中性粒细胞浸润, 产生的 IL-8 浓度增高, 导致黏膜炎症程度加重及消化性溃疡病的发生, 其具体致病机制尚未知。*iceA*2 阳性菌株与临床疾病的发生无相关性^[15,16], 之前研究表明, 东亚菌株多表达 *iceA*1 型, 而欧洲菌株则以 *iceA*2 为主导^[17]。

本研究调查了中国东部地区 *H. pylori* 毒力基因在胃癌标本分离株中的分布状况。结果显示 52 例菌株中, *cagA*、*vacAs1/i1/m1*、*vacAs1/i1/m2* 和 *iceA1* 的阳性率分别是 92.3% (48/52)、48.1% (25/52)、48.1% (25/52)、90.4% (47/52), 上述基因型在中国东部地区 *H. pylori* 分离株中占主导地位。*cagA* 阳性率明显高于欧洲和非洲源性菌株, 符合东亚地区 *cagA* 基因的分布规律^[18], 胃癌组菌株全部是 *cagA* 阳性, 但与胃炎组相比, 其阳性率差异无统计学意义。大多数菌株中含有 *cagAs1* 和 *i1* 型 (51/52, 50/52), 而 *cagAm1* 和 *m2* 亚型分布较为均匀 (25/52, 26/52), *vacAs2* 或 *i2* 型菌株均分离自胃炎标本。欧洲文献报道中指出, 根据 *vacA* 基因型的不同, *H. pylori* 菌株的空泡毒活性可进一步分为高毒性、低毒性、无毒性 3 类^[12], *cagAs1/i1/m1* 和 *cagAs1/i1/m2* 型 *H. pylori* 分别属于高毒性和低毒性株, 而含有 *cagAs2* 或 *i2* 型菌株无毒性。我国 *H. pylori* 菌株大多表达 *cagAs1/i1/m1* 或 *cagAs1/i1/m2* 基因型, *cagAs1* 和 *cagA1* 在胃癌分离株中的阳性率均为 100% (21/21), *cagAm1* 和 *cagAm2* 在胃癌组中的阳性率分别 47.6% (10/21) 和 52.4% (11/21), 但与胃炎组相比, *cagA* 基因亚型的分布差异无统计学意义 ($P > 0.05$), 表明东亚菌株毒性强弱的分类并不适用于此种方法。*cagAs1/i1/m1* 或 *cagAs1/i1/m2* 基因型与胃癌的发生无显著相关性。*iceA* 基因以 1 型为主, 与日本等国的报道一致^[19,20], 符合东亚菌株 *iceA* 基因的分布规律。*iceA1* 在胃癌分离株中的阳性率是 95.2% (20/21), 与胃炎组相比, 阳性率差异无统计学意义 ($P > 0.05$)。*iceA1* 与胃癌的发生无相关性, 该基因不能作为预测临床预后的生物标记, 但 *iceA* 基因的高度多变性可作为

分析 *H. pylori* 菌群遗传学的有利工具。

总之, *cagA*、*cagAs1/i1/m1*、*cagAs1/i1/m2* 和 *iceA1* 是中国东部 *H. pylori* 菌株的优势基因型, *cagA*、*cagAs1*、*cagAi1* 和 *iceA1* 毒力基因型的存在与胃癌的发生无相关性。东亚菌株中可能存在其他影响致病力强弱的基因片段, 有待进一步探究。

参考文献(References)

- [1] Covacci A, Telford JL, Giudice GD, et al. *Helicobacter pylori* virulence and genetic geography[J]. Science, 1999, 284(5418): 1328-1333
- [2] Nilsson C, Sillen A, Eriksson L, et al. Correlation between cag pathogenicity island composition and *Helicobacter pylori*-associated gastroduodenal disease[J]. Infect Immun, 2003, 71(11): 6573-6581
- [3] Parkin DM. The global health burden of infection-associated cancers in the year 2002[J]. Int J Cancer, 2006, 118(12): 3030-3044
- [4] Jones KR, Joo YM, Jang S, et al. Polymorphism in the CagA EPIYA motif impacts development of gastric cancer [J]. J Clin Microbiol, 2009, 47(4): 959-968
- [5] Carpenter BM, McDaniel TK, Whitmire JM, et al. Expanding the *Helicobacter pylori* genetic toolbox: modification of an endogenous plasmid for use as a transcriptional reporter and complementation vector [J]. Appl Environ Microbiol, 2007, 73: 7506-7514
- [6] Yamaoka Y, Kodama T, Gutierrez O, et al. Relationship between *Helicobacter pylori* *iceA*, *cagA*, and *vacA* status and clinical outcome: studies in four different countries [J]. J Clin Microbiol, 1999, 37: 2274-2279
- [7] Rhead JL, Letley DP, Mohammadi M, et al. A new *Helicobacter pylori* vacuolating cytotoxin determinant, the intermediate region, is associated with gastric cancer[J]. Gastroenterology, 2007, 133: 926-936
- [8] Sachs G, Wen Y, Scott DR. Gastric infection by *Helicobacter pylori* [J]. Curr Gastroenterol Rep, 2009, 11(6): 455-461
- [9] Hatakeyama M. *Helicobacter pylori* and gastric carcinogenesis [J]. J Gastroenterol, 2009, 44: 239-248
- [10] Argent RH, Hale JL, El-Omar EM, et al. Differences in *Helicobacter pylori* CagA tyrosine phosphorylation motif patterns between western and East Asian strains, and influences on interleukin-8 secretion [J]. J Med Microbiol, 2008, 57:1062-106
- [11] Azuma T, Yamazaki S, Yamakawa A, et al. Association between diversity in the Src homology 2 domain-containing tyrosine phosphatase binding site of *Helicobacter pylori* CagA protein and gastric atrophy and cancer[J]. J Infect Dis, 2004, 189(5): 820-827
- [12] Manente L, Perna A, Buommino E, et al. The *Helicobacter pylori*'s protein VacA has direct effects on the regulation of cell cycle and apoptosis in gastric epithelial cells [J]. J Cell Physiol, 2008, 214: 582-587
- [13] Wen S, Moss SF. *Helicobacter pylori* virulence factors in gastric carcinogenesis[J]. Cancer Lett, 2009, 282: 1-8
- [14] Basso D, Zambon CF, Letley DP, et al. Clinical relevance of *Helicobacter pylori* *cagA* and *vacA* gene polymorphisms [J]. Gastroenterology, 2008, 135: 91-99
- [15] Erzin Y, Koksal V, Altun S, et al. Prevalence of *Helicobacter pylori* *vacA*, *cagA*, *cagE*, *iceA*, *babA2* genotypes and correlation with clinical outcome in Turkish patients with dyspepsia[J]. Helicobacter, 2006, 11(6): 574-580
- [16] Amjad N, Osman HA, Razak NA, et al. Clinical significance of *Helicobacter pylori* *cagA* and *iceA* genotype status [J]. World J Gastroenterol, 2010, 16(35): 4443-4437
- [17] Ashour AA, Collares GB, Mendes EN, et al. *iceA* genotypes of *Helicobacter pylori* strains isolated from Brazilian children and adults[J]. J Clin Microbiol, 2001, 39(5): 1746-1750
- [18] Jang S, Jones KR, Olsen CH, et al. Epidemiological link between gastric disease and polymorphisms in VacA and CagA [J]. J Clin Microbiol, 2010, 48: 559-567
- [19] Nishiya D, Shimoyama T, Fukuda S, et al. Evaluation of the clinical relevance of the *iceA1* gene in patients with *Helicobacter pylori* infection in Japan[J]. Scand J Gastroenterol, 2000, 35(1): 36-39
- [20] Ito Y, Azuma T, Ito S, et al. Sequence analysis and clinical significance of the *iceA* gene from *Helicobacter pylori* strains in Japan [J]. J Clin Microbiol, 2000, 38(2): 483-488